Каспийское море Caspian Sea

Москва, Лаборатория оптики океана ИО РАН, 2024

Moscow, Ocean Optics Laboratory, SIO RAS, 2024

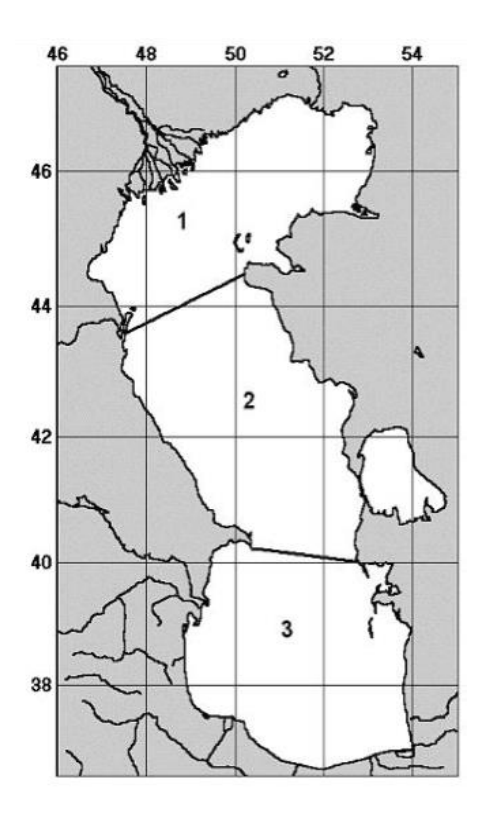
Каспийское море. Caspian Sea

| Субрегионы. Subregions | 3 |
|---|-------|
| Карты среднемесячных распределений. Maps of monthly average distributions | |
| Концентрация хлорофилла. Chlorophyll concentration. | 4 |
| Показатель рассеяния назад взвешенными частицами. Particle backscattering coefficient | nt5 |
| Концентрация взвешенного вещества. Suspended matter concentration | 6 |
| Показатель поглощения желтым веществом. Yellow substance absorption coefficient | 7 |
| Температура поверхности моря. Sea surface temperature | 8 |
| Диаграммы по субрегионам. Diagrams by subregions | 10 |
| Покрытие данными. Data coverage | 10 |
| Концентрация хлорофилла. Chlorophyll concentration. | 12 |
| Показатель рассеяния назад взвешенными частицами. Particle backscattering coefficient | nt 14 |
| Концентрация взвешенного вещества. Suspended matter concentration | 16 |
| Показатель поглощения желтым веществом. Yellow substance absorption coefficient | 18 |
| Температура поверхности моря. Sea surface temperature | 20 |
| Список литературы. References | 21 |

Субрегионы. Subregions

Краткое физико-географическое описание Каспийского моря дано в главе 7 монографии (Копелевич и др., 2018). Исходя из основных различий условий, определяющих формирование биооптических характеристик вод, выделены три субрегиона: северный, средний и южный.

A brief physical and geographical description of the Caspian Sea is given in Chapter 7 of the monograph (Kopelevich et al., 2018). Based on the main differences in conditions that determine the formation of bio-optical characteristics of water, three subregions are identified: northern, middle and southern.

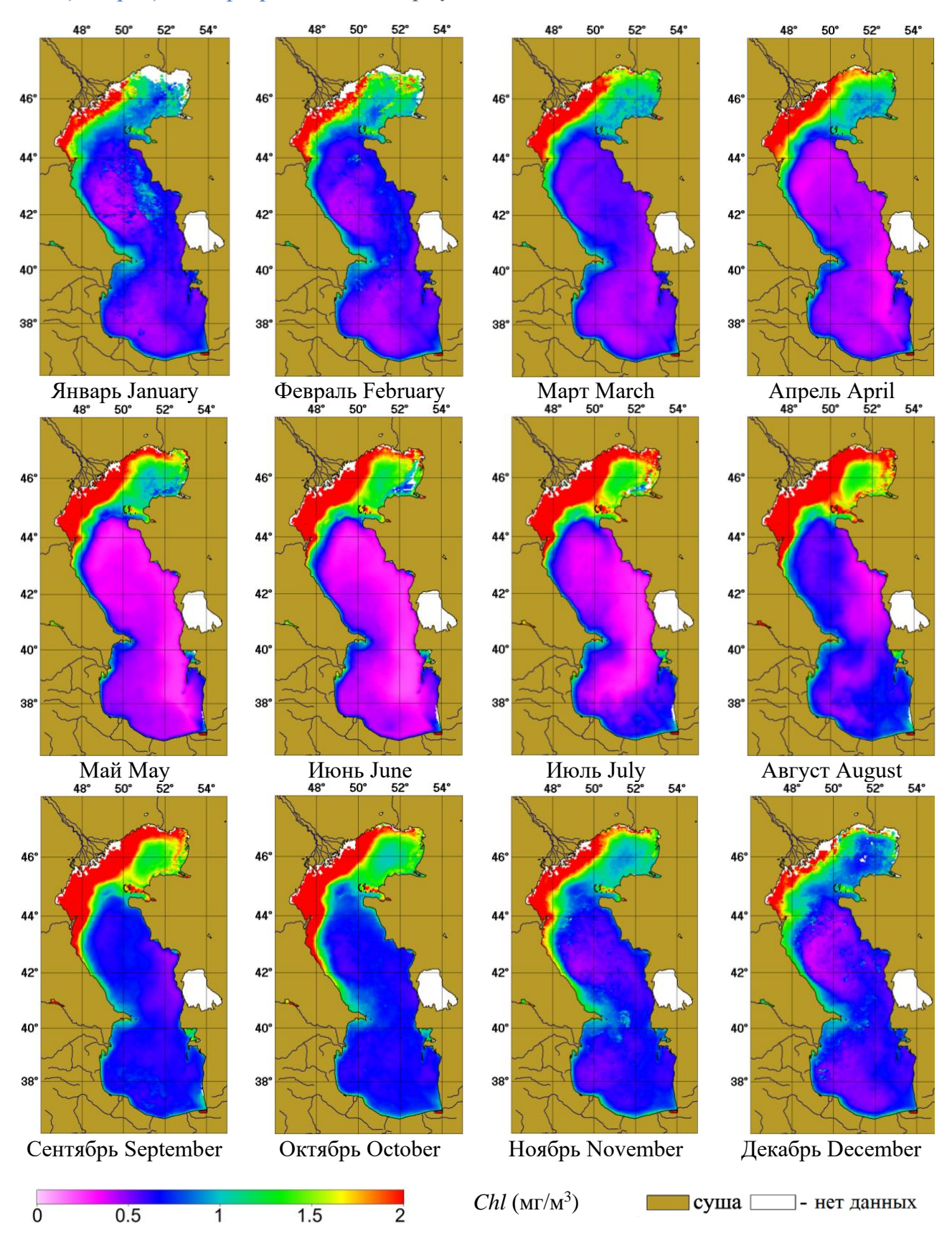


Субрегионы Каспийского моря (Subregions of the Caspian Sea)

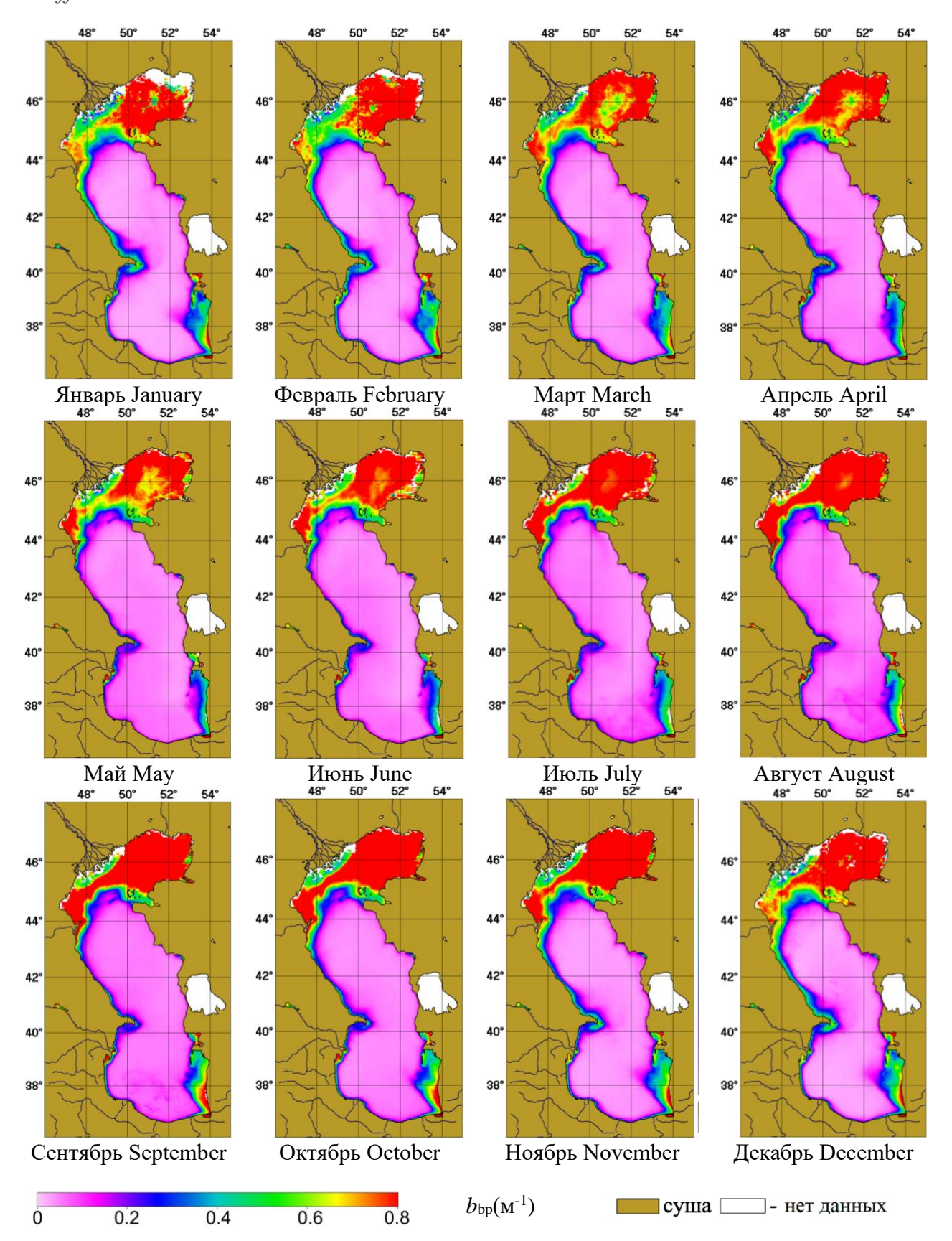
- 1 Северный Каспий (North Caspian)
- 2 Средний Каспий (Middle Caspian)
- 3 Южный Каспий (South Caspian)

Карты среднемесячных распределений. Maps of monthly average distributions

Концентрация хлорофилла. Chlorophyll concentration

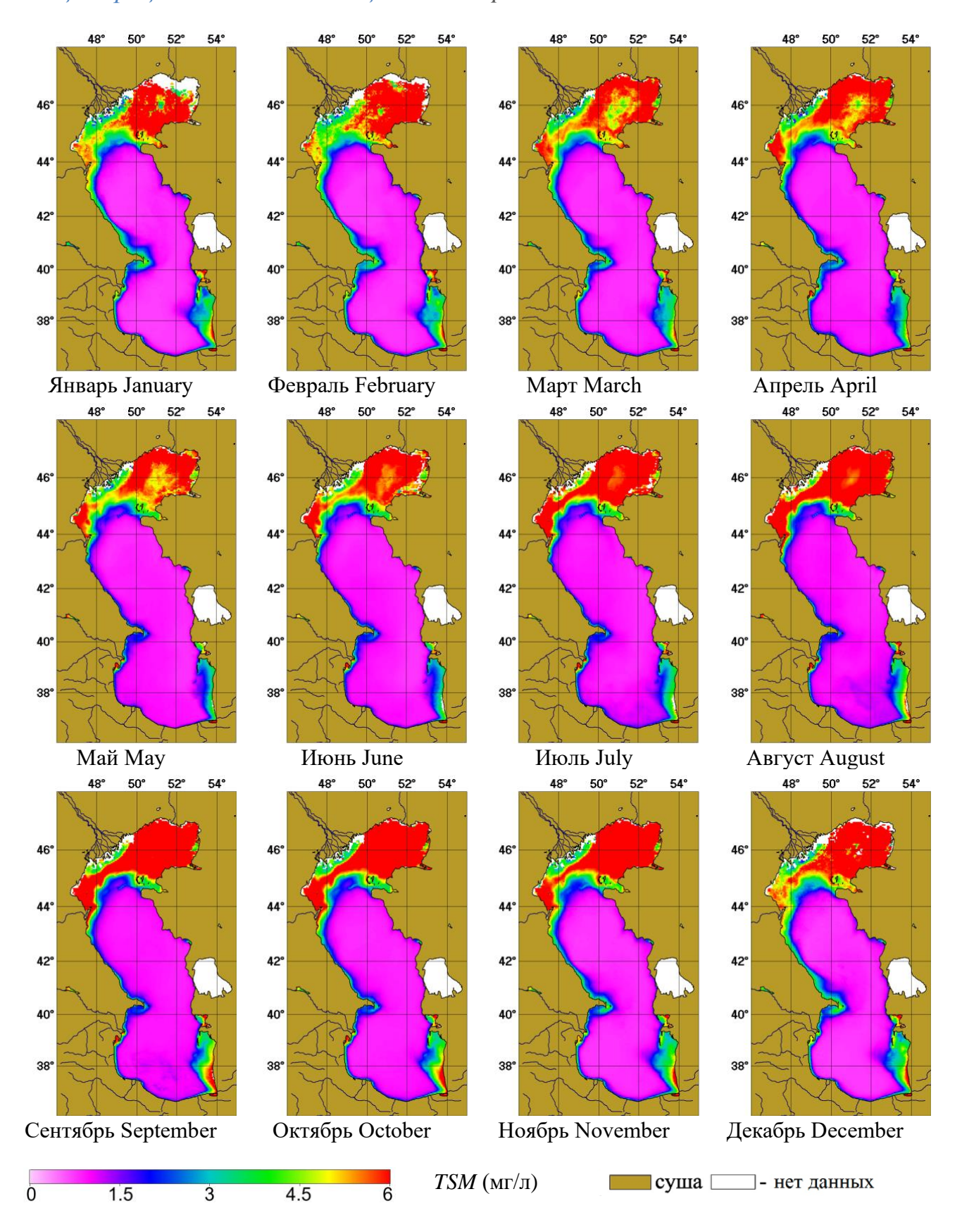


Распределения средне-климатических (2003-2023 гг.) значений концентрации хлорофилла *Chl* (мг/м³), рассчитанные по региональным алгоритмам ИО РАН (Рыбакова и др., 2012) Distributions of climatic averages (2003-2023) values of chlorophyll concentration *Chl* (mg/m³), calculated using regional algorithms of the IO RAS (Rybakova et al., 2012).



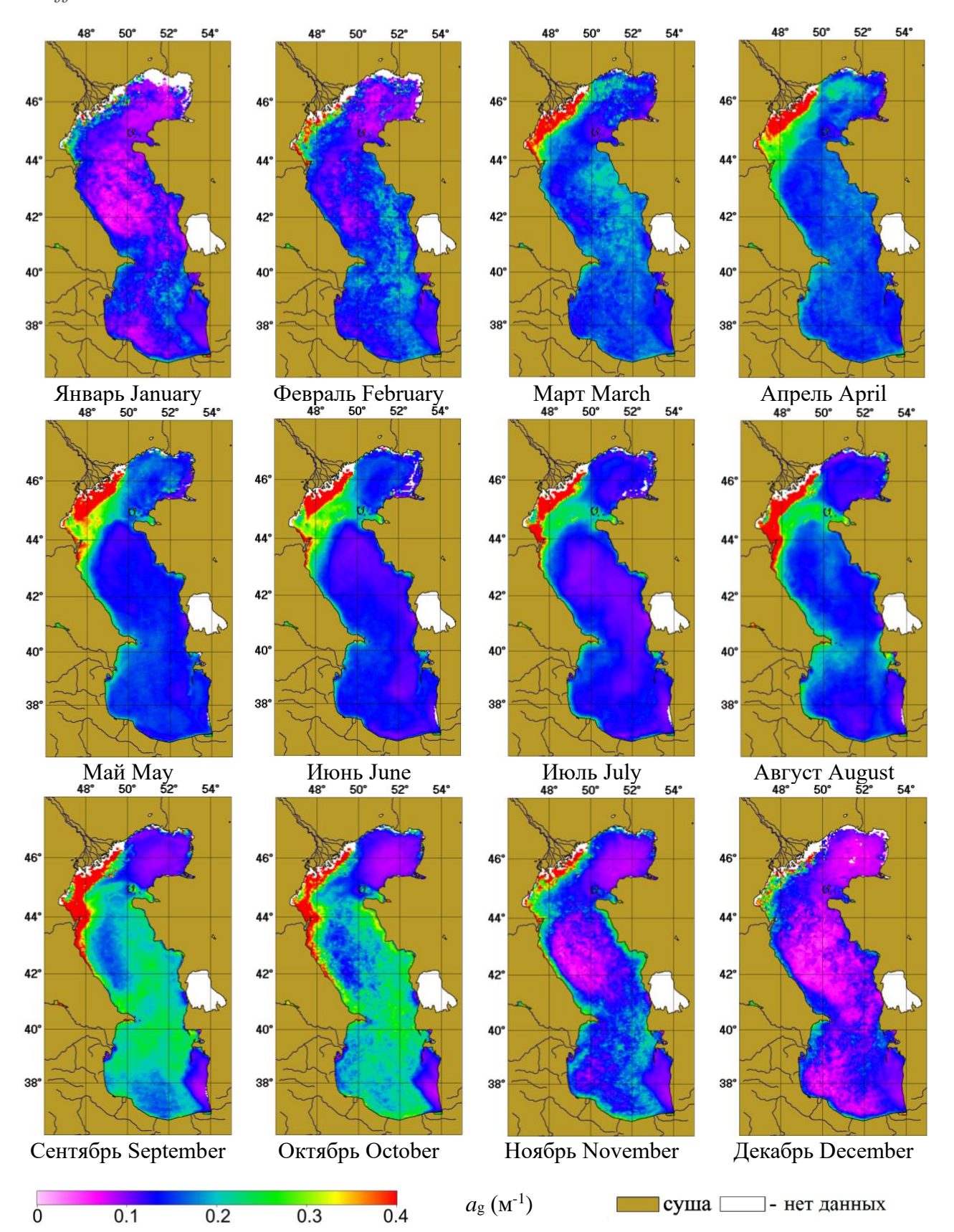
Распределения средне-климатических (2003-2023 гг.) значений показателя рассеяния назад взвешенными частицами $b_{\rm bp}$ (м⁻¹), рассчитанные по региональным алгоритмам ИО РАН (Буренков и др., 2001)

Distributions of climatic averages (2003-2023) values of the particle backscattering coefficient b_{bp} (m⁻¹), calculated using regional algorithms of the IO RAS (Burenkov et al, 2001).



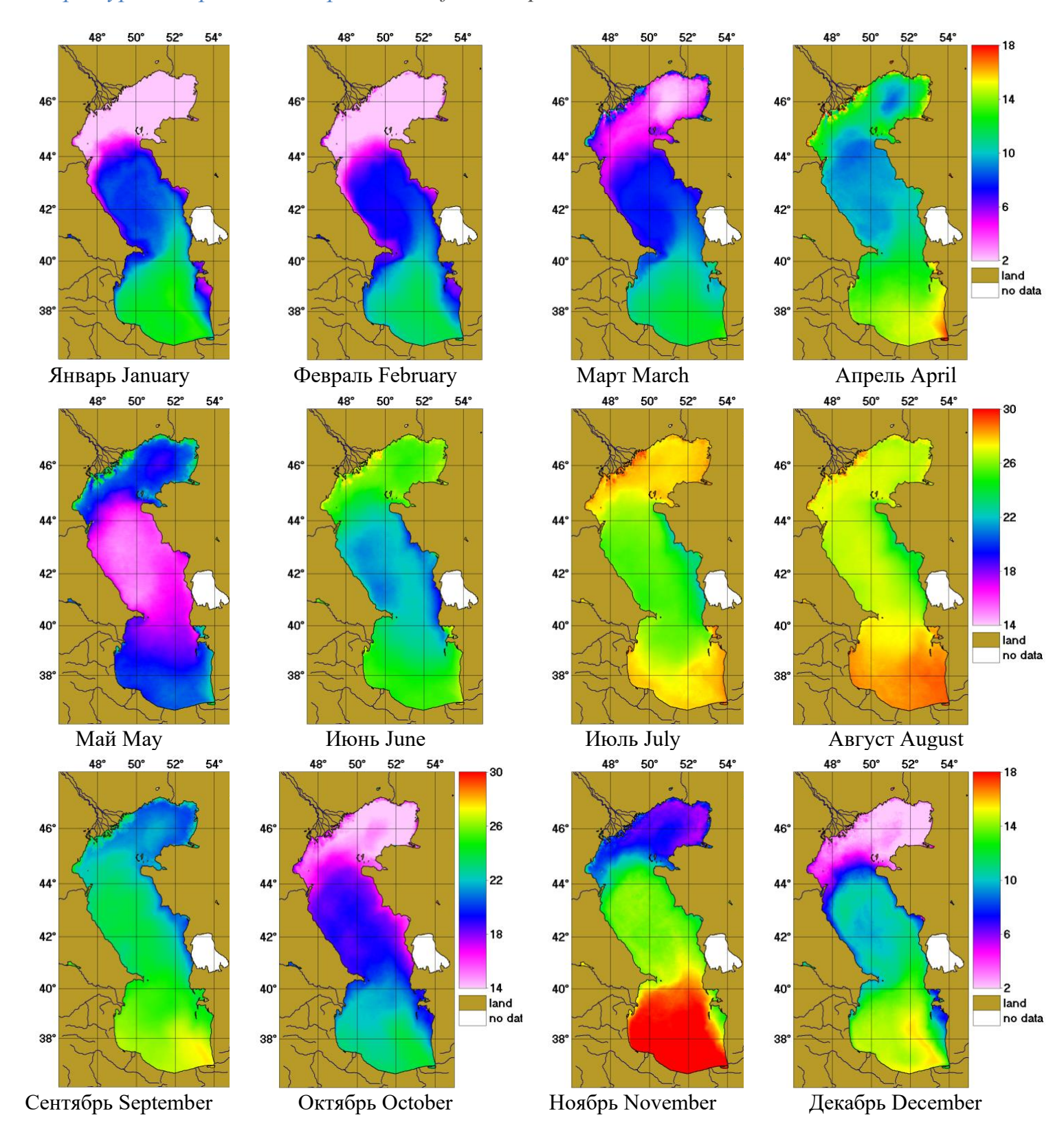
Распределения средне-климатических (2003-2023 гг.) значений концентрации взвешенного вещества (TSM, мг/л), рассчитанные по региональным алгоритмам ИО РАН (Рыбакова и др., 2012).

Distributions of climatic averages (2003-2023) values of the total suspended matter concentration (*TSM*, mg/l), calculated with the particle backscattering coefficient using regional algorithms of the IO RAS (Rybakova et al., 2012).



Распределения средне-климатических (2003-2023 гг.) значений показателя поглощения желтым веществом $a_{\rm g}$ (м $^{-1}$), рассчитанные по региональным алгоритмам ИО РАН (Буренков и др., 2002)

Distributions of climatic averages (2003-2023) values of the yellow substance absorption coefficient a_g (m⁻¹), calculated using regional algorithms of the IO RAS (Burenkov et al, 2001).



Распределения средне-климатических (2003-2023 гг.) значений температуры поверхности моря *SST*, (°C) стандартного продукта L3 NASA (https://oceancolor.gsfc.nasa.gov/13/)

Distributions of climatic averages (2003-2023) values of the sea surface temperature (*SST*, °*C*) standard L3 NASA product (https://oceancolor.gsfc.nasa.gov/l3/)

Карты распределений среднемесячных величин биооптических характеристик и температуры моря доступны по ссылке: <u>Caspian Maps</u>.

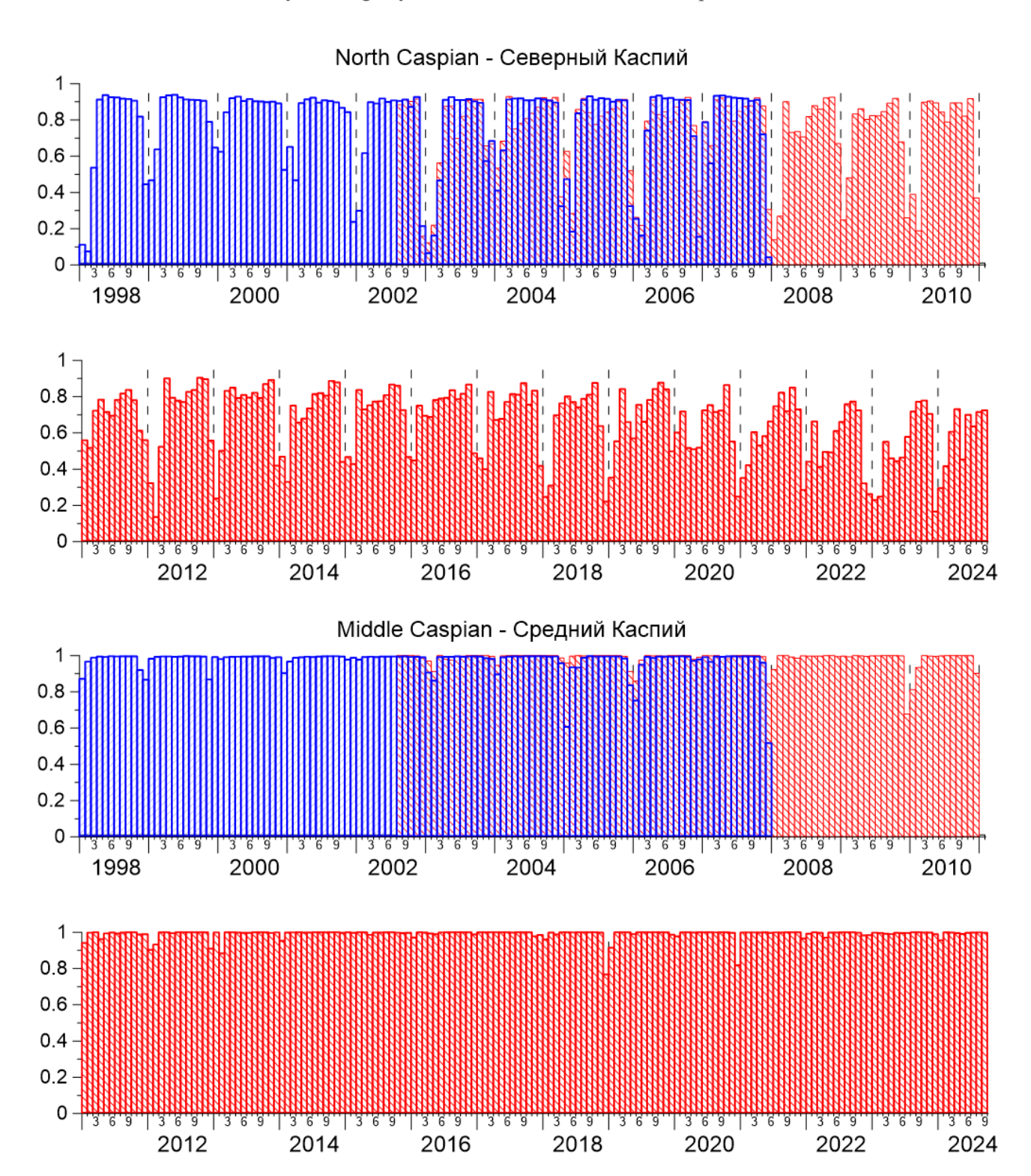
Maps of distributions of monthly average values of bio-optical characteristics and sea temperature are available at the link: <u>Caspian Maps</u>.

Диаграммы по субрегионам. Diagrams by subregions

Покрытие данными. Data coverage

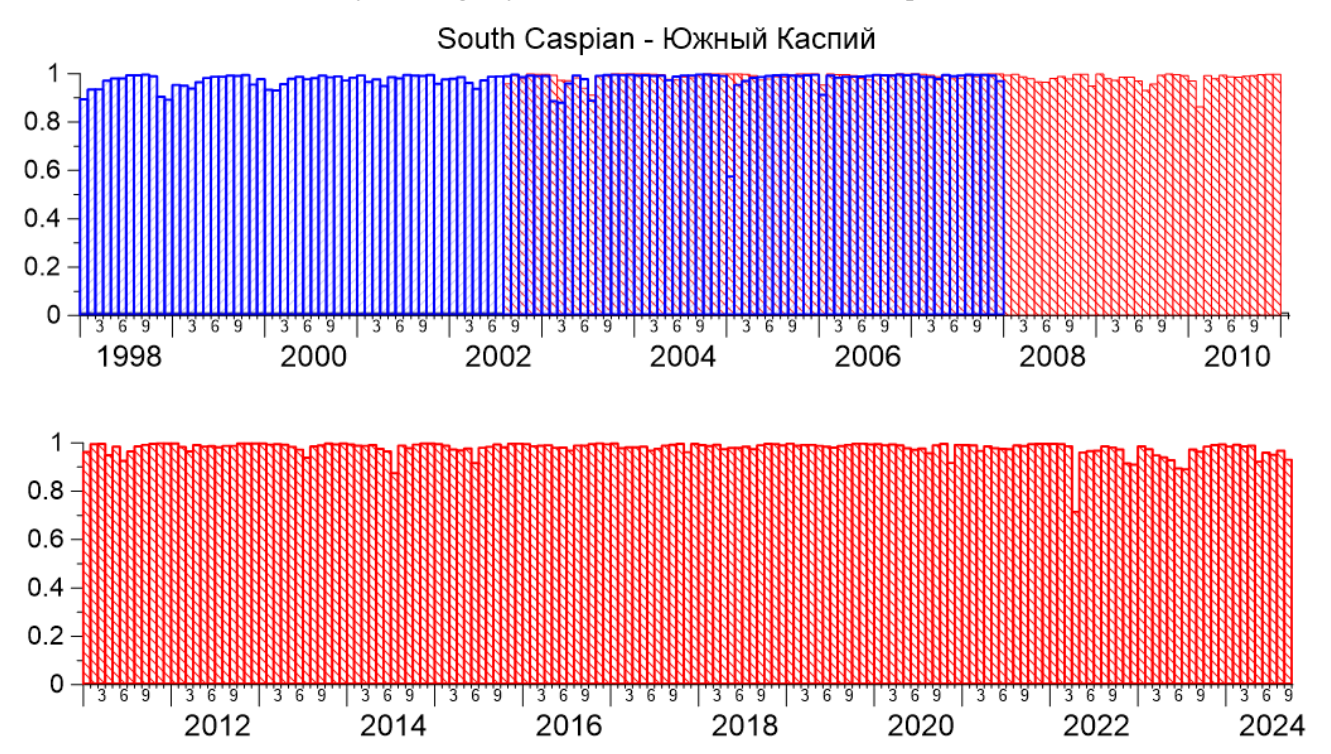
Ежемесячное покрытие данными SeaWiFS (синий) и MODIS-Aqua (красный)

Monthly coverage by SeaWiFS (blue) and MODIS-Aqua (red) data



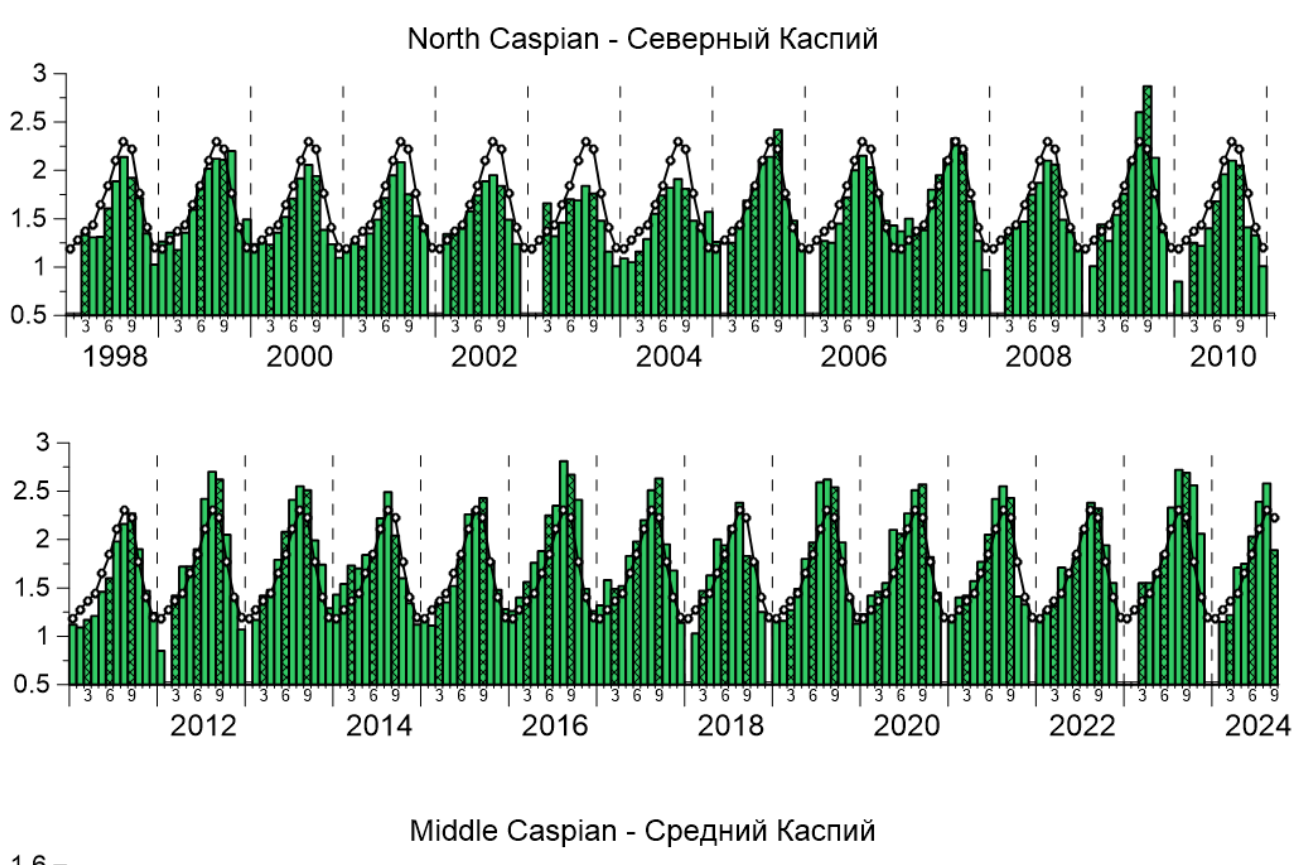
Ежемесячное покрытие данными SeaWiFS (синий) и MODIS-Aqua (красный)

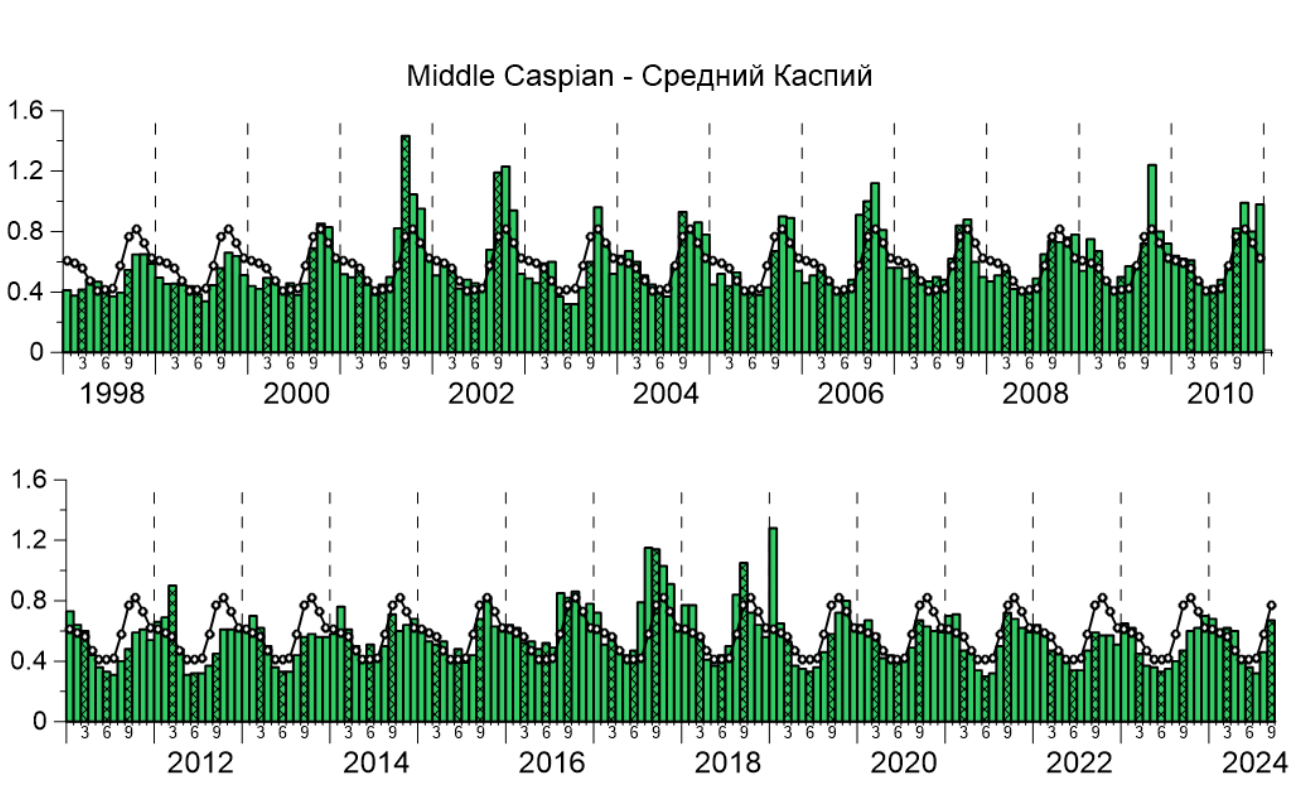
Monthly coverage by SeaWiFS (blue) and MODIS-Aqua (red) data



Изменения среднемесячных величин концентрации хлорофилла Chl (мг/м³). Черная кривая — средние изменения за период 1998—2023 гг.

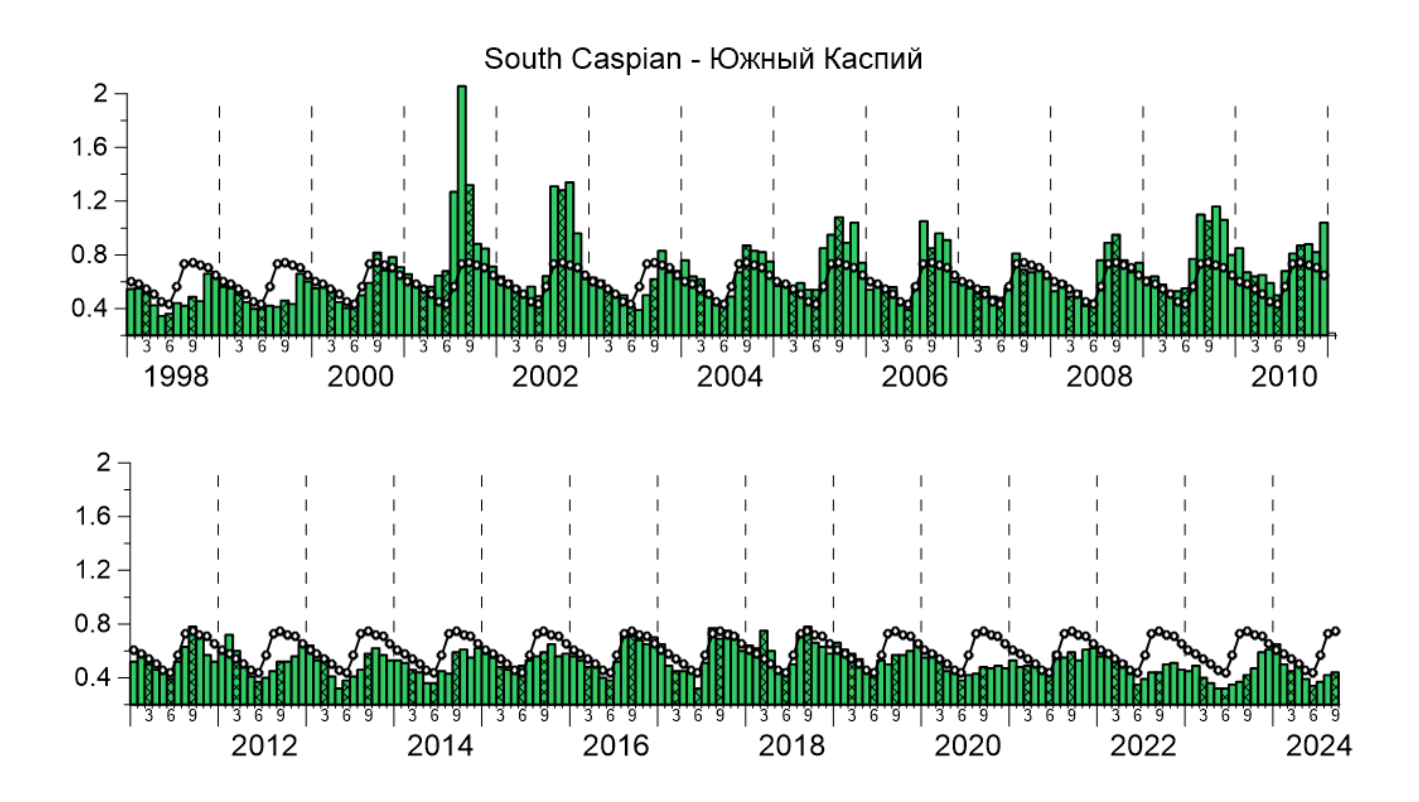
Changes in the monthly average values of chlorophyll concentration Chl (mg/m³). The black curve is the average change for the period 1998–2023





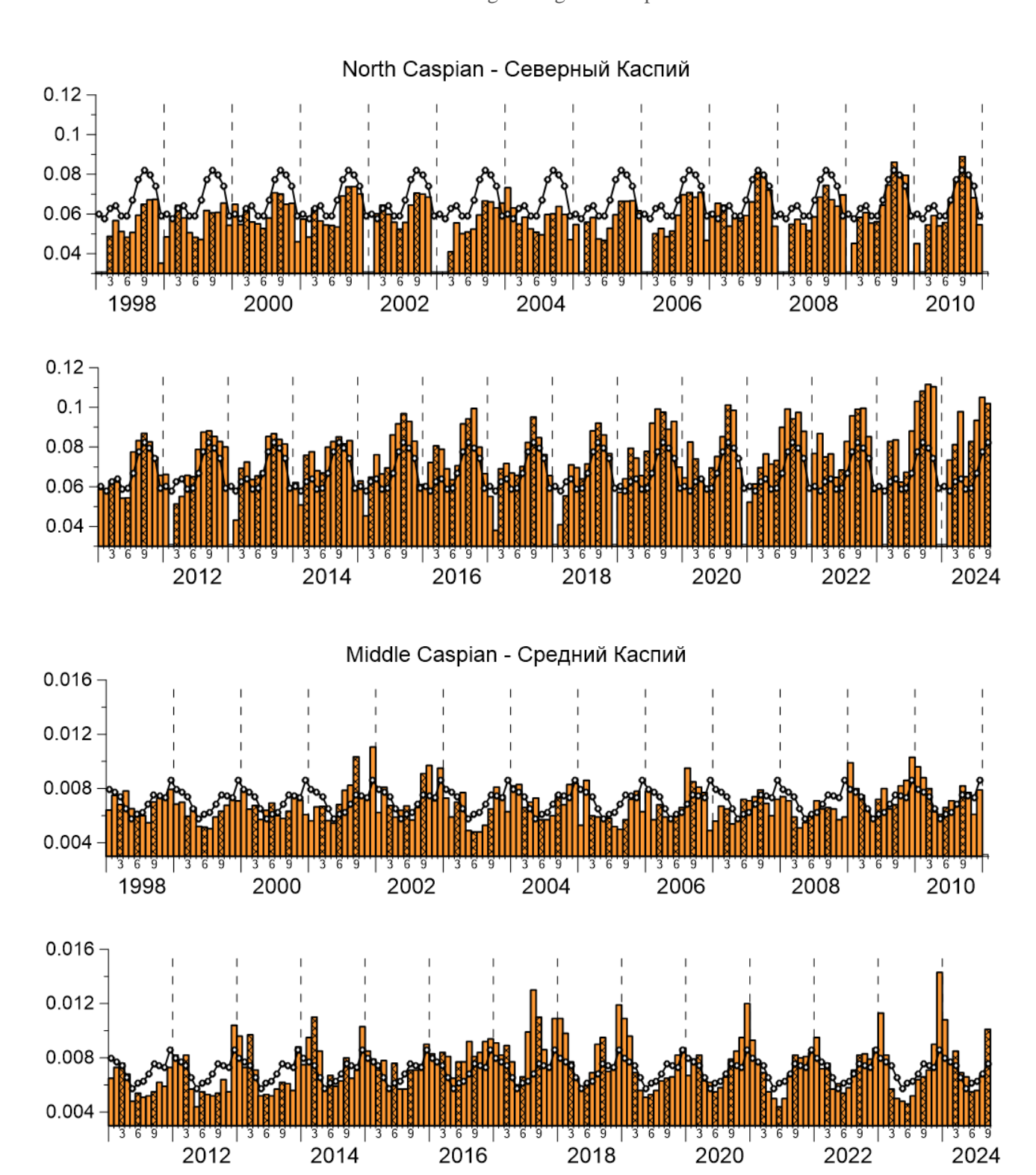
Изменения среднемесячных величин концентрации хлорофилла Chl (мг/м³). Черная кривая — средние изменения за период 1998—2023 гг.

Changes in the monthly average values of chlorophyll concentration Chl (mg/m 3). The black curve is the average change for the period 1998–2023



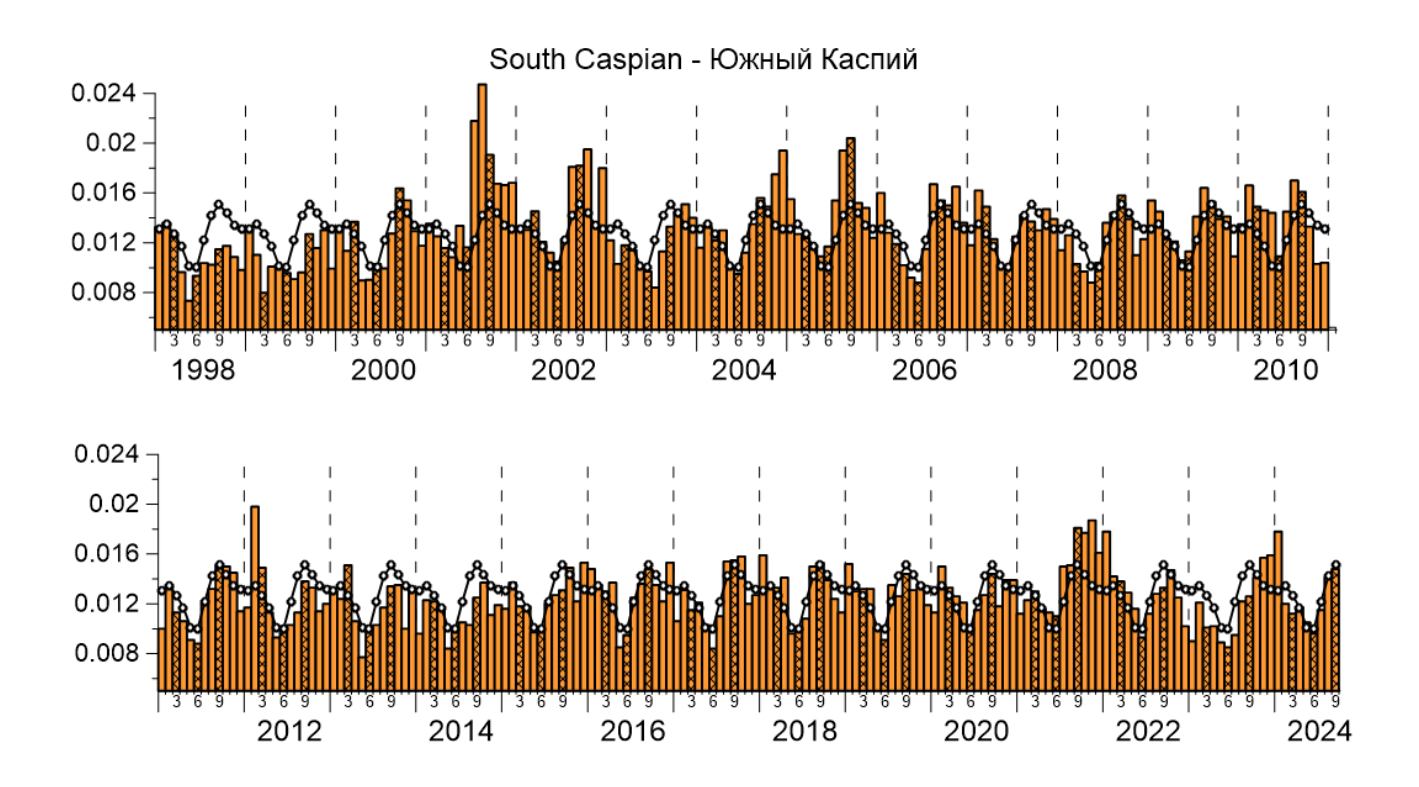
Изменения среднемесячных величин показателя рассеяния назад взвешенными частицами $b_{\rm bp}$ (м $^{-1}$). Черная кривая — средние изменения за период 1998—2023 гг.

Changes in the monthly average values of the particle backscattering coefficient $b_{\rm bp}$ (${\rm M}^{\rm -1}$). The black curve is the average change for the period 1998–2023



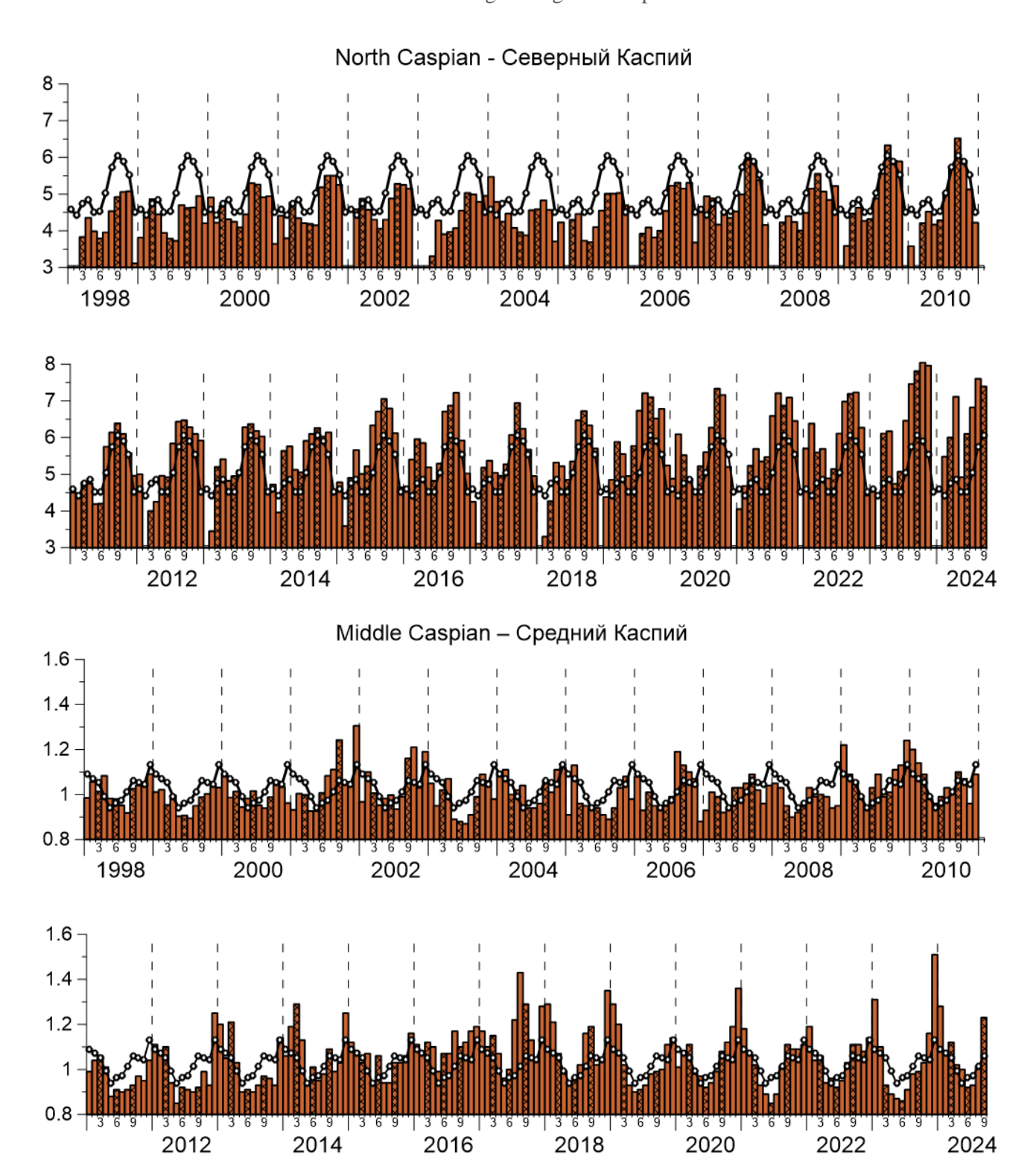
Изменения среднемесячных величин показателя рассеяния назад взвешенными частицами $b_{\rm bp}$ (м $^{-1}$). Черная кривая — средние изменения за период 1998—2023 гг.

Changes in the monthly average values of the particle backscattering coefficient $b_{\rm bp}$ (${\rm M}^{\rm -1}$). The black curve is the average change for the period 1998–2023



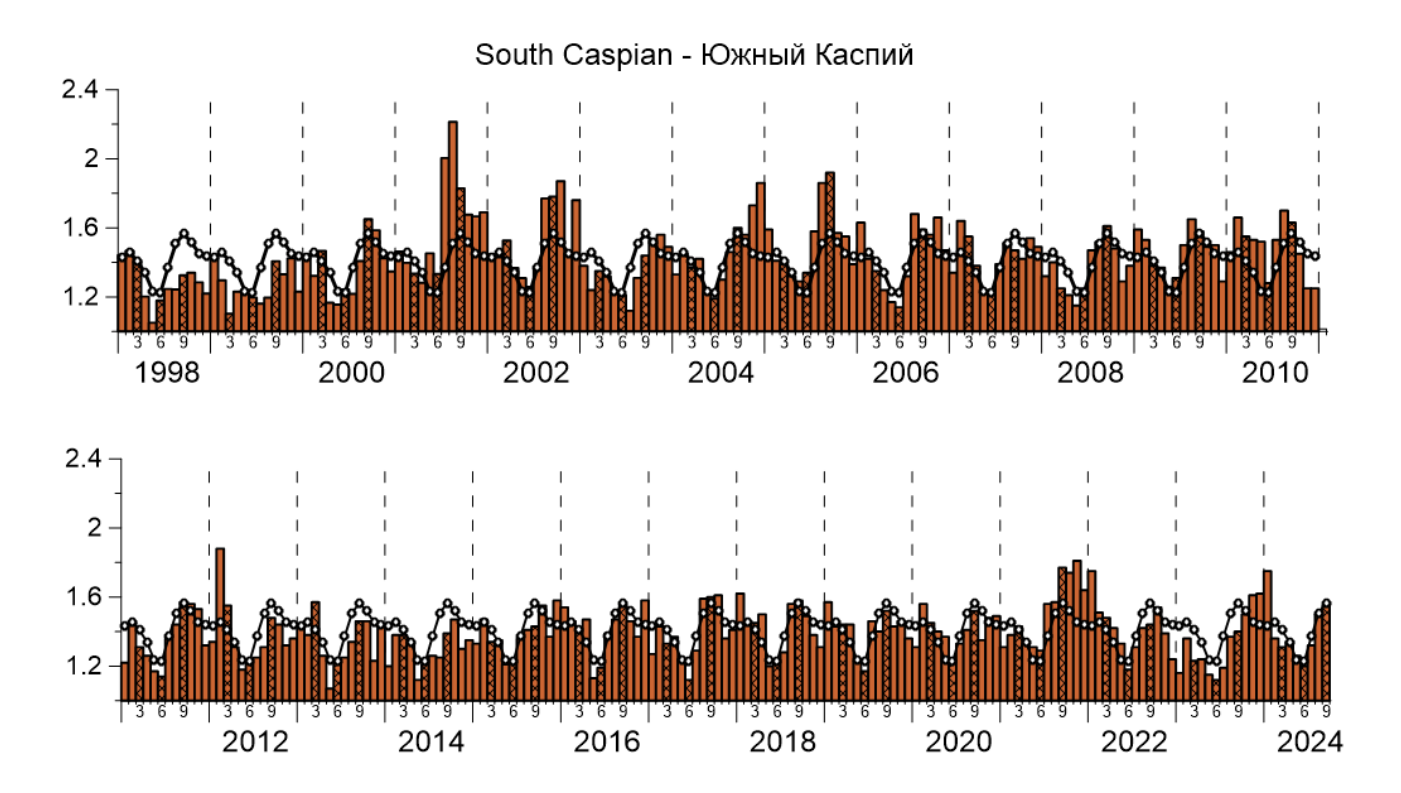
Изменения среднемесячных величин концентрации взвешенного вещества (*TSM*, мг/л). Черная кривая – средние изменения за период 1998–2023 гг.

Changes in the monthly average values of the total suspended matter concentration (*TSM*, mg/l). The black curve is the average change for the period 1998–2023



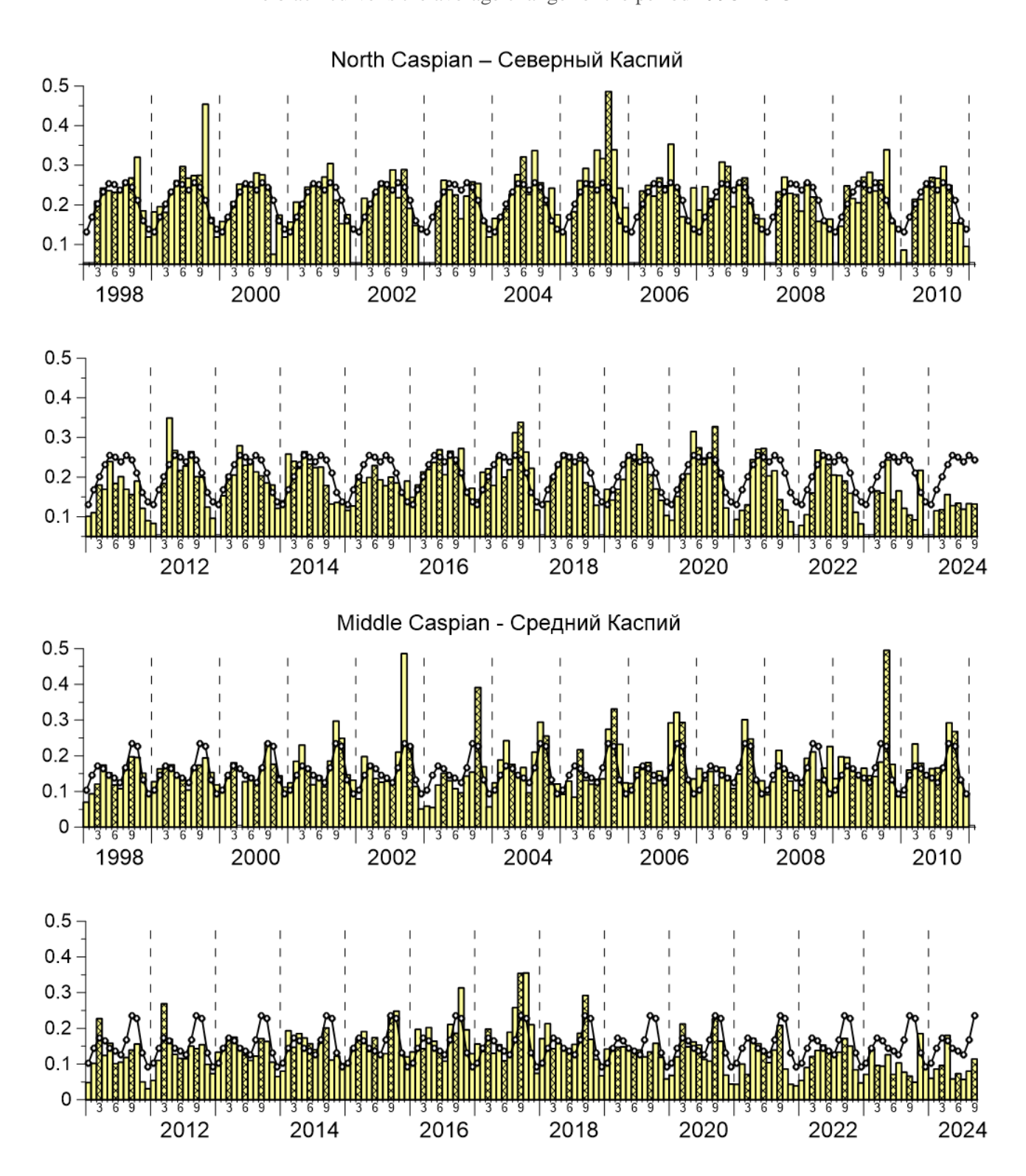
Изменения среднемесячных величин концентрации взвешенного вещества (TSM, мг/л). Черная кривая — средние изменения за период 1998—2023 гг.

Changes in the monthly average values of the total suspended matter concentration (*TSM*, mg/l). The black curve is the average change for the period 1998–2023



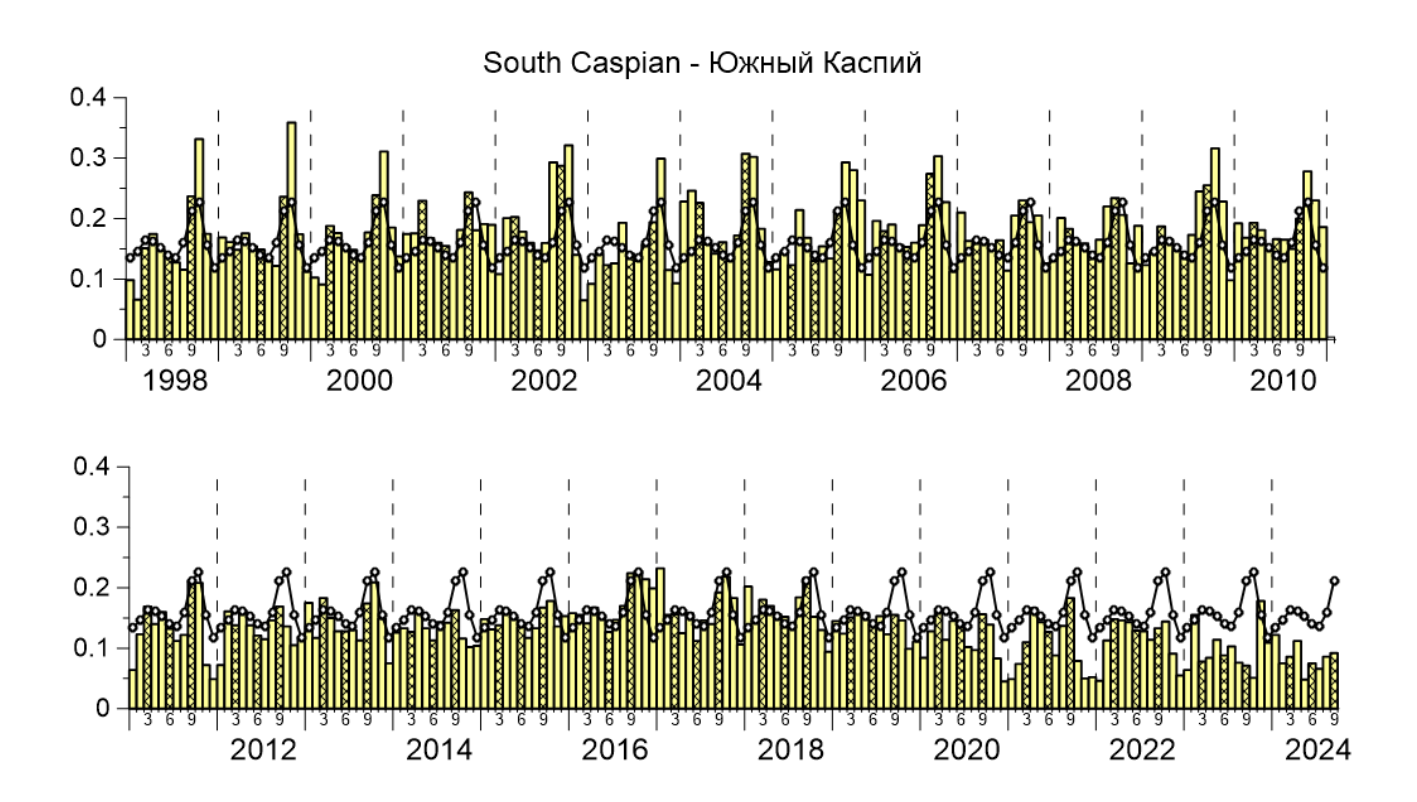
Изменения среднемесячных величин показателя поглощения желтым веществом $a_{\rm g}$ (м $^{-1}$). Черная кривая — средние изменения за период 1998—2023 гг.

Changes in the monthly average values of the yellow substance absorption coefficient $a_{\rm g}$ (${\rm M}^{-1}$). The black curve is the average change for the period 1998–2023



Изменения среднемесячных величин показателя поглощения желтым веществом $a_{\rm g}$ (м $^{-1}$). Черная кривая — средние изменения за период 1998—2023 гг.

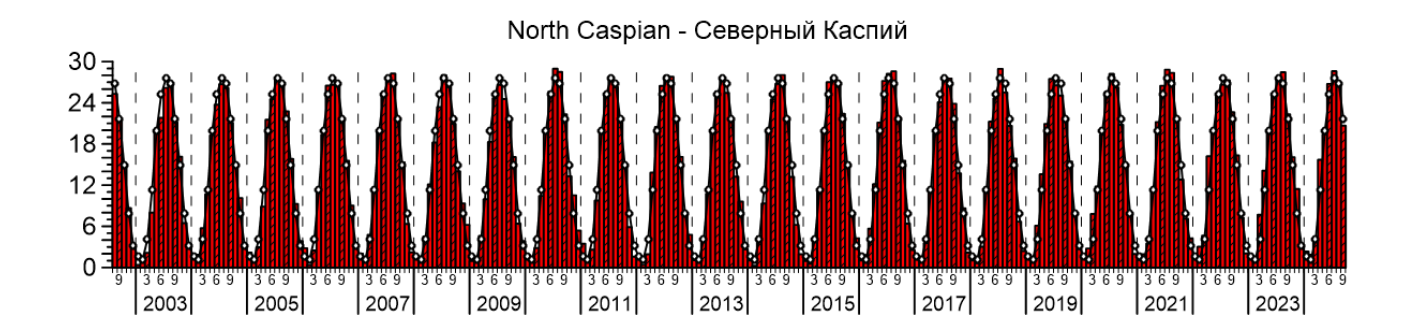
Changes in the monthly average values of the yellow substance absorption coefficient $a_{\rm g}$ (m⁻¹). The black curve is the average change for the period 1998–2023

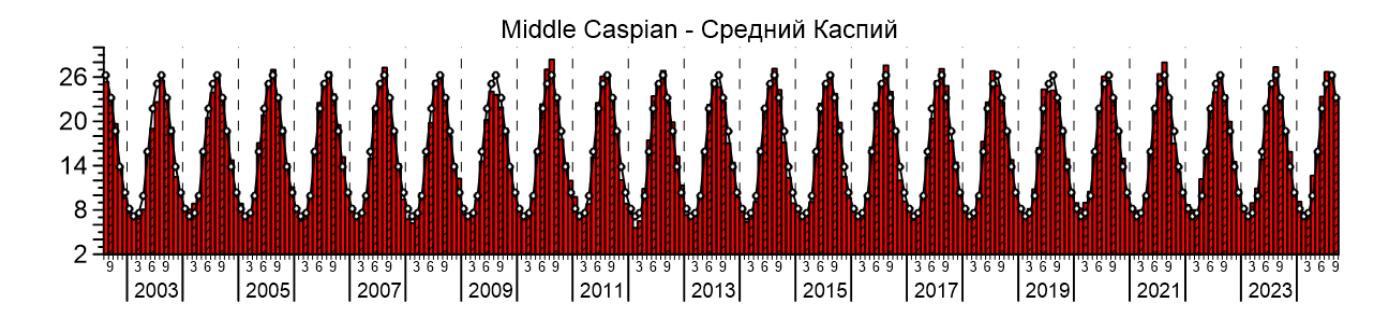


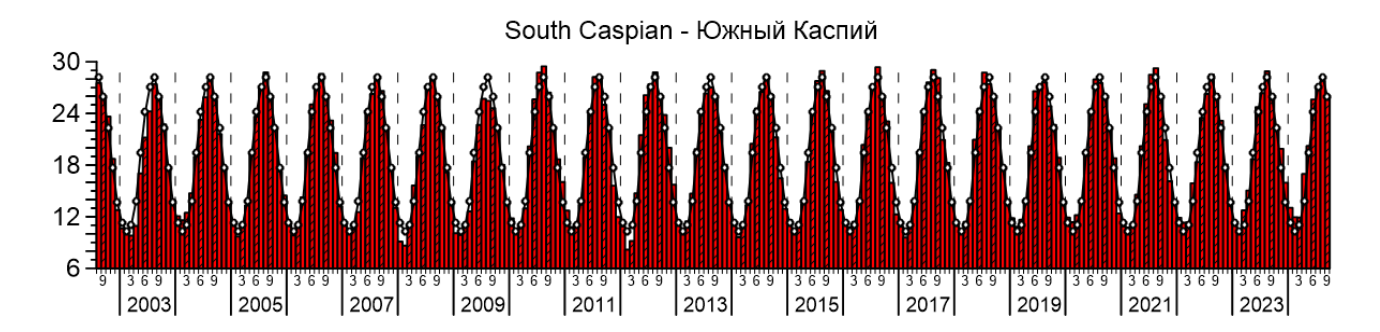
Температура поверхности моря. Sea surface temperature

Изменения среднемесячных величин температуры поверхности моря (SST, °C). Черная кривая — средние изменения за период 2003–2023 гг.

Changes in the monthly average values of the sea surface temperature (SST, °C). The black curve is the average change for the period 2003–2023







Данные среднемесячных распределений биооптических характеристик и температуры поверхности моря, по которым были построены диаграммы, доступны по ссылке: <u>Caspian Tables</u>.

Data on the monthly average distributions of bio-optical characteristics and sea surface temperature, on which the diagrams were constructed, are available at the following link: <u>Caspian Tables</u>.

Список литературы. References

- 1. Копелевич О.В., Салинг И.В., Вазюля С.В., Глуховец Д.И., Шеберстов С.В., Буренков В.И., Каралли П.Г., Юшманова А.В. Биооптические характеристики морей, омывающих берега западной половины России, по данным спутниковых сканеров цвета 1998-2017 гг. // М.: ООО «ВАШ ФОРМАТ», 2018. 140 с.
- 2. Рыбакова И.В., Копелевич О.В., Буренков В.И., Шеберстов С.В., Вазюля С.В. Верификация спутниковых биофизических алгоритмов для Каспийского моря по судовым данным // Современные проблемы дистанционного зондирования Земли из космоса. 2012. Т. 9. No 4. C. 202-209.
- 3. Буренков В.И., Ведерников В.И., Ершова С.В., Копелевич О.В., Шеберстов С.В. Использование данных спутникового сканера цвета океана SeaWiFS для оценки биооптических характеристик вод Баренцева моря // Океанология. 2001. Т. 41. No 4. С. 485-492.